

# Primena fazi logike u obradi slika

Jelena Mrdak, mi15021

Tijana Jevtić

January 16, 2019

## Abstract

U ovom radu je predstavljena primena fazi logike u obradi slika. Opisana su dve algoritma, Fuzzy C-means (FCM) za binarizaciju slike i Fuzzy Edge Detection (FED) za detekciju ivica. Takođe, ovi algoritmi su poređeni sa algoritmima koji ne koriste fazi logiku. Konkretno, poredili smo FCM sa k-means-om i FED sa Canny Edge Detection (CED) algoritmom. Slike dobijene FCM-om i k-means-om se skoro i ne razlikuju, dok to nije slučaj sa FED-om i CED-om, čiji su izlazi приметно drugačiji. U oba slučaja su algoritmi koji koriste fazi logiku bila brža.

## Contents

<b>1</b>	<b>Uvod</b>	<b>1</b>
<b>2</b>	<b>FCM</b>	<b>2</b>
2.1	Binarnizacija slike . . . . .	4
2.2	FCM i k-means . . . . .	7
<b>3</b>	<b>Detekcija ivica</b>	<b>9</b>
3.1	FED . . . . .	9
3.2	FED i CED . . . . .	12
<b>4</b>	<b>Ulepšavanje slika korišćenjem fazi logike</b>	<b>13</b>
4.1	Tehnika za ulepšavanje crno-belih slika sa lošim kontrastom [3] . . . . .	14
<b>5</b>	<b>Zaključak</b>	<b>15</b>

## 1 Uvod

U matematici smo do sad navikli da je nešto tačno ili netačno, da nešto pripada ili ne pripada skupu. Međutim, nekad je teško povući granicu i odrediti kad je nešto 0, a kad 1. Što smo bliži granici, to nesigurnost veća. Na primer, ako želimo da klasifikujemo ljude na niske i visoke i postavimo granicu na  $170cm$ , dobijamo da je osoba visoka  $170cm$

visoka, dok je osoba visoka 169cm niska, što i nema mnogo smisla.

Fazi logiku je 1965. godine uveo Lotfi Zadeh i ona nam u velikoj meri može pomoći za rešavanje pomenutih problema. Fazi skupovi se razlikuju od klasičnih skupova kod kojih je granica jasna (element ili pripada ili ne pripada skupu). Zadeh je uopštio klasične skupove tako što je proširio skup valuacije  $\{0, 1\}$  na interval realnih brojeva  $[0, 1]$ . Stepenn pripadnosti nekog elementa fazi skupu opisuje koliko taj element odgovara pojmu koji je reprezentovan fazi skupom. Konkretno, element  $x$  pripada skupu  $A$  sa stepenom  $\mu_A(x)$ , gde je  $\mu_A : A \rightarrow [0, 1]$  karakteristična funkcija skupa  $A$ .

U ovom radu smo koristili upravo ove ideje kako bismo odredili da li je piksel crn ili beo, ili da li je piksel ivica ili nije.

Kodovi su pisani u jeziku *C++* pomoću biblioteke *OpenCV*. Napominjemo da su svi kodovi, kako oni navedeni u radu, tako i oni koji nisu, ali koji su korišćeni za poređenje, pisani ručno od strane autora, te da svi rezultati i zaključci zavise od njihove implementacije. Takođe prikazana vremena izvršavanja u velikoj meri zavise od mašine na kojoj se kodovi izvršavaju, te mogu varirati, ali su sva vremena dobijena testiranjem na istom računaru u sličnim uslovima.

## 2 FCM

Fuzzy C-means (FCM) je jedan od najpopularnijih algoritama za fazi klasterovanje. U ovom poglavlju ćemo ga najpre detaljno opisati, a zatim ćemo ga iskoristiti za binarizaciju slike.

Cilj ovog algoritma je da skup  $X = \{x_1, x_2, \dots, x_n\}$  particioniše na  $k$  delova (klastera) po nekom kriterijumu. Preciznije, kriterijum je minimizacija sledeće funkcije:

$$F(\bar{w}, \bar{c}) = \sum_{i=1}^n \sum_{j=1}^k w_{ij}^m \|x_i - c_j\|^2,$$

gde  $w_{ij} \in [0, 1]$  predstavlja pripadnost tačke  $x_i$   $j$ -tom klasteru i  $\sum_{j=1}^k w_{ij} = 1$ , dok je  $c_j$  centroid  $j$ -tog klastera. Realni parametar  $m > 1$  predstavlja faktor fazifikacije i on se zadaje unapred. U nastavku ćemo preciznije odrediti ove koeficijente. Sada ćemo samo ukratko opisati korake algoritma.

FCM je veoma sličan algoritmu k-means i sastoji se iz sledećih koraka:

- Ako je slika u boji, konvertovati je u sivu.
- Izabrati broj klastera  $k$ .
- Svakoj tački  $x_i$  dodeliti koeficijente  $w_{ij} \in [0, 1], j = 1, 2, \dots, k$ .
- Ponavljati sve dok ne dođe do konvergencije:

- Izračunati centroide za svaki klaster.
- Ažurirati koeficijente.
- Tačku  $x_i$  dodeliti klasteru kom najviše pripada, tj.  $r$ -tom klasteru, gde je  $w_{ir} = \max_j w_{ij}$ .

**Teorema 2.1.** *Potrebni uslovi za minimizator  $(\bar{w}^*, \bar{c}^*)$  funkcije  $F(\bar{w}, \bar{c})$  su:*

$$c_j = \frac{\sum_{i=1}^n w_{ij}^m \cdot x_i}{\sum_{i=1}^n w_{ij}^m} \quad (1)$$

$i$

$$w_{ij} = \frac{1}{\sum_{u=1}^k \left( \frac{\|x_i - c_j\|}{\|x_i - c_u\|} \right)^{\frac{2}{m-1}}} \quad (2)$$

*Proof.* Pronaći ćemo potencijalne tačke lokalnih uslovnih ekstremuma. Koristićemo Lagranževe množioce. Posmatraćemo pomoćnu funkciju:

$$J(\bar{w}, \bar{c}, \bar{\lambda}) = \sum_{i=1}^n \sum_{j=1}^k w_{ij}^m \|x_i - c_j\|^2 - \sum_{i=1}^n \lambda_i \left( \sum_{j=1}^k w_{ij} - 1 \right).$$

Tačke koje tražimo moraju da zadovoljavaju uslov  $\nabla J = \mathbf{0}$ . Dakle,

$$\frac{\partial J}{\partial c_j} = 0, 1 \leq j \leq k \quad (3)$$

$$\frac{\partial J}{\partial w_{ij}} = 0, 1 \leq i \leq n, 1 \leq j \leq k \quad (4)$$

$$\frac{\partial J}{\partial \lambda_i} = 0, 1 \leq i \leq n \quad (5)$$

Rešavanjem (3) dobijamo (1). Iz (4) imamo

$$m w_{ij}^{m-1} \|x_i - c_j\|^2 - \lambda_i = 0,$$

odnosno

$$w_{ij} = \left( \frac{\lambda_i}{m \|x_i - c_j\|^2} \right)^{\frac{1}{m-1}}. \quad (6)$$

Iz (5) dobijamo:

$$\begin{aligned}
1 &= \sum_{u=1}^k w_{iu} \\
&= \sum_{u=1}^k \left( \frac{\lambda_i}{m \|x_i - c_u\|^2} \right)^{\frac{1}{m-1}} \\
&= \sum_{u=1}^k \left( \frac{m \|x_i - c_u\|^2}{\lambda_i} \right)^{\frac{1}{1-m}} \\
&= \sum_{u=1}^k \frac{(m \|x_i - c_u\|^2)^{\frac{1}{1-m}}}{\lambda_i^{\frac{1}{1-m}}} \\
&= \frac{1}{\lambda_i^{\frac{1}{1-m}}} \sum_{u=1}^k (m \|x_i - c_u\|^2)^{\frac{1}{1-m}},
\end{aligned}$$

pa zaključujemo da je

$$\lambda_i = \left( \sum_{u=1}^k (m \|x_i - c_u\|^2)^{\frac{1}{1-m}} \right)^{1-m}.$$

Konačno, zamenjujući poslednju jednakost u (6), dobijamo (2). □

FCM algoritam za određivanje minimizatora funkcije  $F$  je iteracija kroz potrebne uslove.

## 2.1 Binarizacija slike

Ispod je prikazan kod za binarizaciju slike koji koristi FCM algoritam. Napominjemo da se zbog čitljivosti koda u ovom delu nismo odlučili za efikasnu implementaciju. O tome će biti više reči u narednoj sekciji.

```

#include <iostream>
#include <opencv2/highgui/highgui.hpp>

int main(int argc, const char *argv[])
{
    if (argc != 2) {
        std::cerr << "Usage: ./binarization path_to_img" << std::endl;
        return 1;
    }

    // read image
    cv::Mat img = cv::imread(argv[1], cv::IMREAD_GRAYSCALE);
    cv::Mat img_binary = cv::Mat(img.rows, img.cols, CV_8UC1,
        ↪ cv::Scalar(255));

```

```

// weights
std::vector<std::vector<float>> w1(img.rows,
    ↪ std::vector<float>(img.cols, 0));
std::vector<std::vector<float>> w2(img.rows,
    ↪ std::vector<float>(img.cols, 0));
// fuzzification factor
double m = 2;
// centroids
std::pair<float, float> c;

// init weights
for (int i = 0; i < img.rows; i++) {
    for (int j = 0; j < img.cols; j++) {
        w1[i][j] = img.at<unsigned char>(i,j)/255.0;
        w2[i][j] = 1 - w1[i][j];
    }
}

// stopping criteria
float eps = 0;

do {
    // calculate centroids
    std::pair<float, float> c1_fraction{0,0};
    std::pair<float, float> c2_fraction{0,0};

    for (int i = 0; i < img.rows; i++) {
        for (int j = 0; j < img.cols; j++) {
            c1_fraction.first += std::pow(w1[i][j], m)*img.at<unsigned
                ↪ char>(i,j);
            c1_fraction.second += std::pow(w1[i][j], m);
            c2_fraction.first += std::pow(w2[i][j], m)*img.at<unsigned
                ↪ char>(i,j);
            c2_fraction.second += std::pow(w2[i][j], m);
        }
    }

    auto old_c = c;
    c = {c1_fraction.first/c1_fraction.second,
        ↪ c2_fraction.first/c2_fraction.second};
    eps = (old_c.first-c.first)*(old_c.first-c.first) +
        ↪ (old_c.second-c.second)*(old_c.second-c.second);

    // update weights
    for (int i = 0; i < img.rows; i++) {

```

```

    for (int j = 0; j < img.cols; j++) {
        float d1 = std::abs(img.at<unsigned char>(i,j)-c.first);
        float d2 = std::abs(img.at<unsigned char>(i,j)-c.second);
        w1[i][j] = 1/(std::pow(d1/d1, 2/(m-1)) + std::pow(d1/d2,
            ↪ 2/(m-1)));
        w2[i][j] = 1/(std::pow(d2/d1, 2/(m-1)) + std::pow(d2/d2,
            ↪ 2/(m-1)));
    }
}

} while(eps > 1);

// cluster pixels based on weights
for (int i = 0; i < img_binary.rows; i++) {
    for (int j = 0; j < img_binary.cols; j++) {
        img_binary.at<unsigned char>(i,j) = (w1[i][j] > w2[i][j]) ? 255 :
            ↪ 0;
    }
}

// show and save binary image
namedWindow("Display window", cv::WINDOW_AUTOSIZE);
imshow("Display window", img_binary);
cv::waitKey(0);
imwrite("fcm.png", img_binary);

return 0;
}

```

Rezultat izvršavanja algoritma je prikazan ispod.



Figure 1: input



Figure 2: output

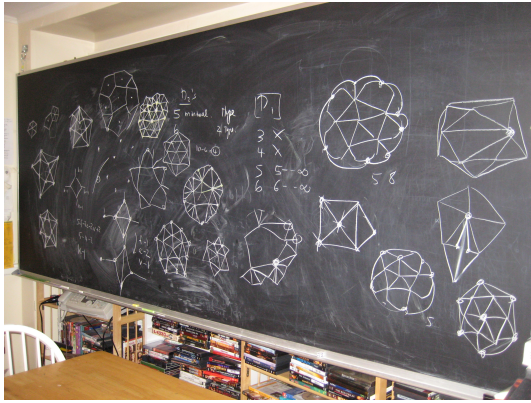


Figure 3: input

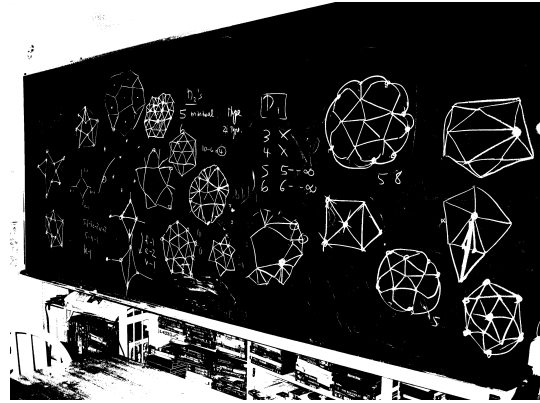


Figure 4: output

## 2.2 FCM i k-means

U ovom odeljku ćemo uporediti rezultate algoritama FCM i k-means, kao i vremena njihovih izvršavanja.

*Napomena 2.1.* Koristićemo efikasniju implementaciju FCM algoritma od one date u sekciji 2.1.

Na sledećim slikama su prikazani rezultati.



Figure 5: FCM output  
Broj iteracija: 7



Figure 6: k-means output  
Broj iteracija: 6

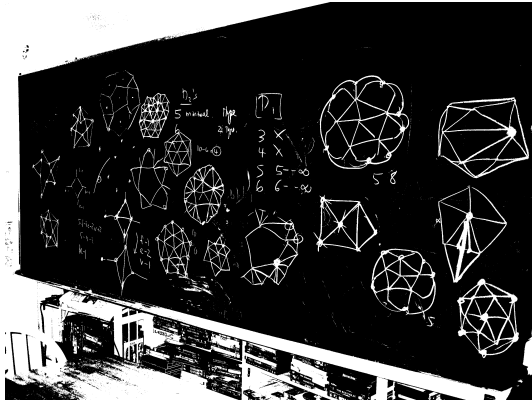


Figure 7: FCM output  
Broj iteracija: 7

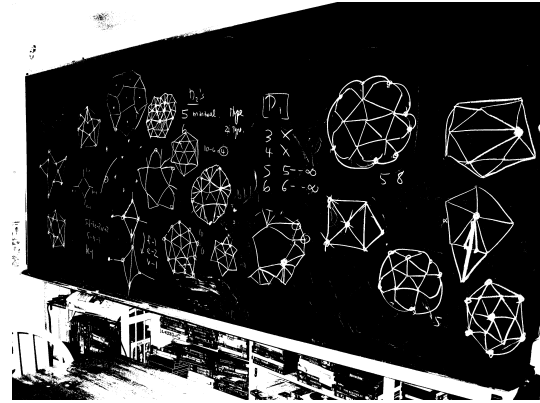


Figure 8: k-means output  
Broj iteracija: 7

Možemo primetiti da su slike 5 i 6 identične, dok se slike 7 i 8 neznatno razlikuju. Međutim, vremena izvršavanja se primetno razlikuju. U Tabeli 1 su prikazana vremena (u sekundama) potrebna da algoritmi obrade Sliku 1 500, 1000 i 1500 puta. Slično, u Tabeli 2 su prikazana vremena potrebna da se obradi Slika 3 50, 100 i 150 puta.

broj izvršavanja	FCM	k-means
500	4	21
1000	8	42
1500	12	63

Table 1: Input Slika 1

broj izvršavanja	FCM	k-means
50	8	44
100	17	89
150	25	133

Table 2: Input Slika 3

Prikazaćemo još dva testa urađena na dve nove slike.

broj izvršavanja	FCM	k-means
100	15	119
150	22	179
200	31	238

Table 3:

broj izvršavanja	FCM	k-means
1000	3	36
1500	5	53
2000	6	71

Table 4:

Na osnovu podataka iz tabela, zaključujemo:

test	k-means/FCM
1	5
2	5
3	8
4	12

Table 5: Koliko puta je FCM brži od k-means

Treba napomenuti da su ovi rezultati okvirni, jer u velikoj meri zavise od implementacije samih algoritama. Naime, za centoride u k-means algoritmu je korišćen celobrojni tip



(int), dok je centroide u FCM algoritmu korišćen realni tip (float). U oba slučaja su se algoritmi zaustavljali kad je promena u centroidima bila manja od jedan. Dakle, već tu može doći do razlike u broju iteracija. Međutim, i dalje očekujemo da će FCM biti brži od k-means.

Takođe, ističemo da FCM koristi više memorije nego k-means.

### 3 Detekcija ivica

Detekcija ivica ima veliki značaj u obradi slika. Koristi se u raznim algoritmima kao što su segmentacija slike, detekcija i izdvajanje karakteristika, pa čak nekad i u kompresiji slike.

Ivice možemo definisati kao mesta na slici gde se intenzitet naglo menja, tj. gde je razlika vrednosti susednih piksela velika. Postoje mnogi algoritmi koji se bave ovim problemom, međutim, nijedan nije savršen. Primerom ćemo najbolje ilustrovati šta mislimo kad to kažemo. Naime, Sobelov algoritam je dobar kada treba detektovati oblike, ali ne radi dobro u realnom vremenu gde je brzina ključna (direktan prenos nekog događaja). Za takve situacije je prikladniji Canny algoritam.

U nastavku ćemo videti još jedan pristup ovom problemu. Koristićemo fazi logiku i fazi skupove.

#### 3.1 FED

Kao što smo već napomenuli, koristićemo fazi logiku i fazi skupove da bismo detektovali ivice na slici. Preciznije, napravićemo fazi skup koji sadrži uređene parove (piksel, vrednost karakteristične funkcije). Taj skup će predstavljati ivice, dok će nam vrednosti karakteristične funkcije govoriti u kojoj meri piksel pripada tom skup.

Postavlja se pitanje šta izabrati za karakterističnu funkciju. Podsetimo se, ivica je mesto gde se intenzitet naglo menja. Shodno tome, treba uzeti u obzir razliku intenziteta piksela koji trenutno posmatramo i njegovih suseda. Kada je ta razlika velika, vrednost naše funkcije treba da teži jedinici, a kada je razlika mala, treba da teži nuli. Jedna takva funkcija je:

$$\mu_{edge}(p) = 1 - \frac{1}{1 + \frac{\sum_{n \in N(p)} \|p-n\|}{L-1}}, \quad (7)$$

gde je  $p$  piksel,  $N(p)$  skup piksela iz njegove okoline,  $L$  broj sivih nijansi (za 8-bitnu sliku, to je 256) i  $\|\cdot\|$  norma koju ćemo definisati kao apsolutnu vrednost razlike intenziteta piksela.

Pre nego što damo kod, ukratko ćemo opisati korake algoritma:

- **Pretprocesiranje** - ako je slika u boji, konvertovati je u sivu sliku.
- **Pretprocesiranje** - primeniti Gausov filter na sliku kako bismo je malo zamutili.

- **Fazifikacija** - računanje karakteristične funkcije  $\mu_{edge}$  za svaki piksel sa slike. Takođe, čuvanje najveće vrednosti funkcije (promenljiva MAX).
- **Normiranje vrednosti** - vrednosti karakteristične funkcije podeliti sa MAX:

$$\mu_{edge}(p) = \frac{\mu_{edge}(p)}{MAX}$$

- **Defazifikacija** - na osnovu vrednosti  $\mu_{edge}(p)$  i nekog unapred datog praga (threshold), pikselu  $p$  dodeliti crnu ili belu boju.

Pošto smo videli kratak opis algoritma, u nastavku dajem FCMo kod radi boljeg razumevanja istog.

```
#include <opencv2/highgui/highgui.hpp>
#include <iostream>

int main(int argc, const char *argv[])
{
    if (argc != 3) {
        std::cerr << "Usage: ./binarization path_to_img threshold" <<
            ↪ std::endl;
        return 1;
    }

    // read image
    cv::Mat img = cv::imread(argv[1], cv::IMREAD_GRAYSCALE);

    float threshold = std::atof(argv[2]);
    const int L = 256;
    std::vector<std::vector<float>> mi(img.rows,
        ↪ std::vector<float>(img.cols, 0));
    auto output = gaussian_blur(img);

    float maxm = 0;
    for (int i = 1; i < output.rows-1; i++) {
        for (int j = 1; j < output.cols-1; j++) {
            unsigned s = 0;
            for (int x = -1; x <= 1; x++) {
                for (int y = -1; y <= 1; y++) {
                    s += std::abs(output.at<unsigned char>(i,j)-output.at<unsigned
                        ↪ char>(i+x,j+y));
                }
            }
            mi[i][j] = (1.0*s)/(s+(L-1));
            maxm = std::max(maxm, mi[i][j]);
        }
    }
}
```

```

    }
}

for (int i = 1; i < output.rows-1; ++i) {
    for (int j = 1; j < output.cols-1; j++) {
        output.at<unsigned char>(i,j) = (mi[i][j]/maxm < threshold) ? 0 :
        ↪ 255;
    }
}

namedWindow("Display window", cv::WINDOW_AUTOSIZE);
imshow("Display window", output);
cv::waitKey(0);
imwrite("edge_detection.png", output);

return 0;
}

```

Na Slici 10 je prikazan rezultat rada algoritma.

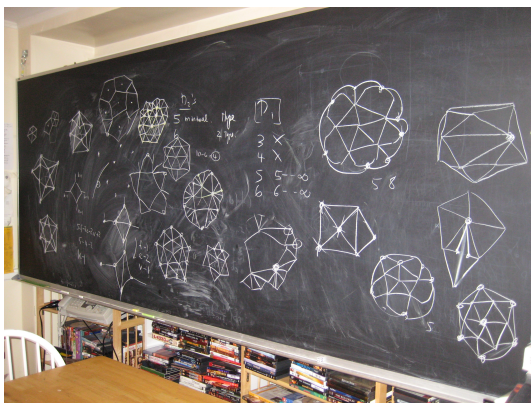


Figure 9: input

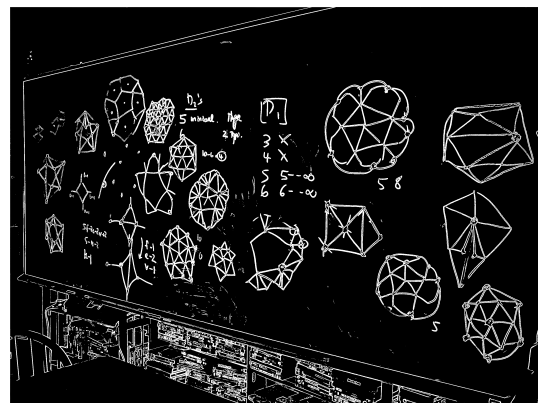


Figure 10: output

Na sledećim slikama možemo videti kako se rezultat menja u zavisnosti od praga koji se zadaje.

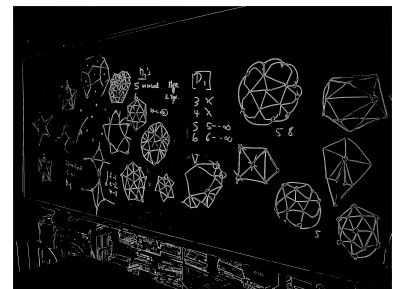
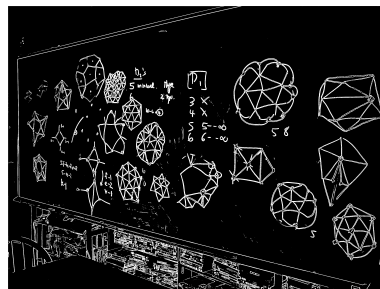
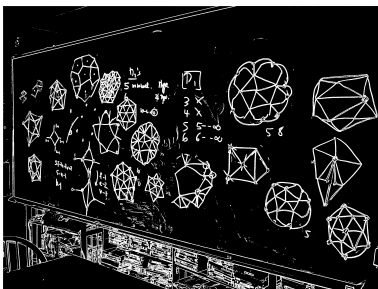


Figure 11: threshold = 0.25    Figure 12: threshold = 0.35    Figure 13: threshold = 0.5

### 3.2 FED i CED

Na Slikama 14 i 15 možemo videti izlaze ovih algoritama.

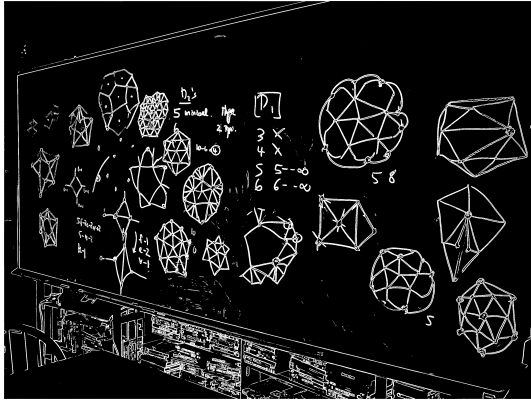


Figure 14: FED output

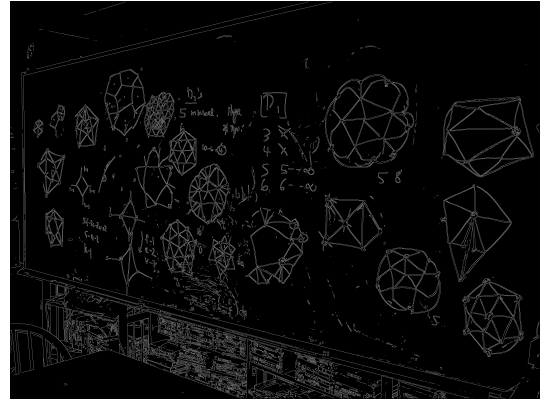


Figure 15: Canny output

Iako naizgled izgleda da FED daje bolje rezultate, ivice kod Canny algoritma su tanje (što je poželjno) i to možemo videti tako što ćemo prikazati uvećane delove Slika 14 i 15.

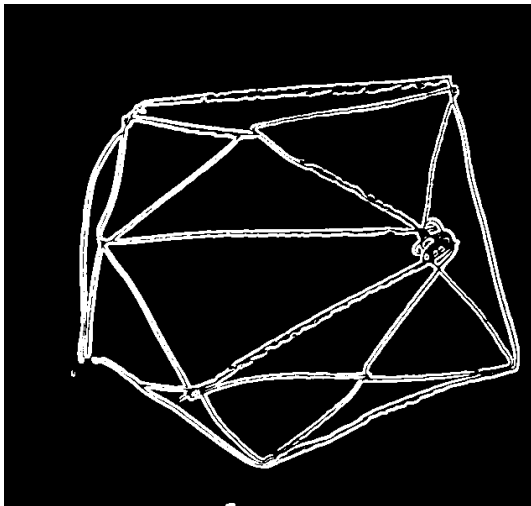


Figure 16: FED output

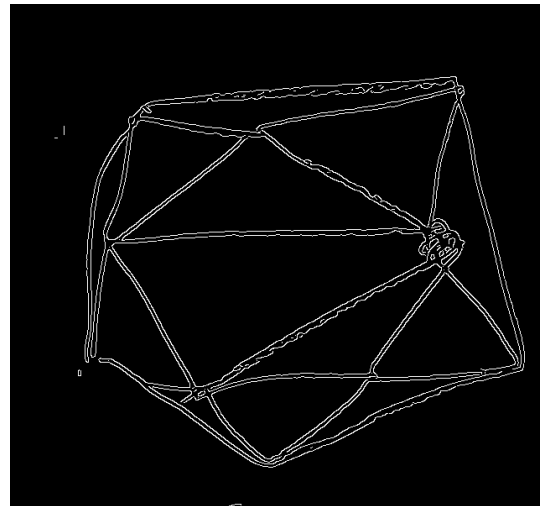


Figure 17: Canny output

U poređenju sa CED, FED je dosta brži. Naime, za obradu Slike 9 sto puta, FED algoritmu je bilo potrebno 60 sekundi, dok CED algoritmu 110. Naravno, ograničavamo se na ručnu implementaciju CED-a autora koja je najverovatnije sporija od implementacije istog algoritma u bibliotekama.

Još jedna prednost FED u odnosu na CED je to što se mnogo lakše implementira.

## 4 Ulepšavanje slika korišćenjem fazi logike

Ulepšavanje slika (eng. image enhancement) predstavlja jedan od osnovnih zadataka obrade slika.

Cilj je obraditi ulaznu sliku tako da izlazna bude pogodnija od ulazne za neku specifičnu upotrebu.

Slike sa lošim kontrastom, loše osvetljene i zamućene slike se dobijaju usled nesavršenosti uređaja koji ih prave (senzori, fotoaparati, itd.), neodgovarajućih uslova za vreme pravljenja slike (loše svetlo) i tokom prenosa slika.

Sa druge strane, slike sa dobrim kontrastom, dobro osvetljene slike, one koje daju dovoljno informacija posmatraču, potrebne su za veliki broj drugih oblasti (medicina, analiza prostora, autonomna navigacija, obrada slika dobijenih satelitima) ili za dalju obradu slika.

Metodi za ulepšavanje slika se mogu podeliti u 3 grupe [4]:

1. Prostorni metod (eng. spatial domain method)
2. Metod domena frekvencija (eng. frequency domain method)
3. Fazi metod (eng. fuzzy method)

Prostorni metodi primenjuju odredjenu transformaciju nad svakim pikselom slike. Daju dosta dobre rezultate, ali se može desiti da rezultujuća slika ne izgleda uvek adekvatno (npr. da izgleda isprano). Neke od prostornih metoda zasnivaju svoj rad na histogramu slike (pomeranje histograma (eng. histogram sliding), razvlačenje histograma (eng. histogram stretching), podešavanje histograma (eng. histogram equalization)). Rezultati metoda podešavanja histograma će biti poredjeni sa rezultatima koje daje predstavljena fazi metoda.

Metod domena frekvencija se pokazuje kao dosta skup [3], čak i uz korišćenje brzih transformacija (npr. brza Furijeova transformacija), tako da nije pogodan za obradu slika u realnom vremenu.

Fazi metod je sposoban da imitira ponašanje eksperta uz korišćenje baze znanja.

Postoji veliki broj metoda koji kombinuje metodu podešavanja histograma sa metodom zasnovanom na fazi logici. Mnoge fazi metode prate standardan sled koraka (fazifikacija, promena vrednosti funkcije pripadnosti, defazifikacija), dok neke ne prolaze kroz sve ove korake.

U nastavku su predstavljene 2 metode za ulepšavanje slika zasnovane na fazi logici: jedna za slike u boji, druga za crno-bele slike.

## 4.1 Tehnika za ulepšavanje crno-belih slika sa lošim kontrastom [3]

Vrednosti ulazne slike  $X$ , dimenzija  $M \times N$ , fazifikuju se primenom funkcije  $\mu$ :

$$\mu_{ij}(x_{ij}) = \frac{x_{ij} - x_{min}}{x_{max} - x_{min}}$$

$$0 \leq i \leq m, 0 \leq j \leq n$$

$x_{max}$ ,  $x_{min}$  predstavljaju maksimalnu i minimalnu vrednost piksela koja se može naći na slici  $X$ , respektivno.

$x_{ij}$  predstavlja vrednost piksela na mestu  $ij$ . Za 8-bitnu sliku, ta vrednost može biti u intervalu  $[0, 2^8 - 1]$ .

$\mu_{ij}$  predstavlja stepen osvetljenosti koju ima piksel  $ij$  na ulaznoj slici  $X$ . U fazi terminologiji,  $\mu$  je funkcija pripadnosti i omogućava prevodjenje nefazi ulaza (slika  $X$ ) u njen odgovarajući fazi oblik. Stoga,  $0 \leq \mu_{ij} \leq 1$ .

Kako bi se dobio što bolji rezultat, za modifikaciju funkcije pripadnosti se uzima poznati INT operator, predložen od strane Kinga i Pala.

Formula kojom je predstavljen INT operator, u stvari, predstavlja matematičku formulu naredna 3 if-then pravila:

1. Ako je piksel beo, onda će biti belji.
2. Ako je piksel siv, onda će biti siv.
3. Ako je piksel crn, onda će biti crniji.

INT operator primenjen na funkciji pripadnosti  $\mu$ :

$$\bar{\mu}_{ij}(\mu_{ij}) = \begin{cases} 2 * \mu_{ij}^2, & 0 \leq \mu_{ij} \leq \mu_c \\ 1 - (2 * (1 - \mu_{ij})^2), & \mu_c \leq \mu_{ij} \leq 1 \end{cases}$$

Tačka  $\mu_c$  je granična vrednost koja se može menjati. Najčešće uzimana vrednost za nju je 0.5 (takodje korišćenja i u našoj implementaciji).

Nakon modifikacije funkcije pripadnosti, dobijene vrednosti treba defazifikovati i na taj način dobiti nove nijanse sive, izlaznu sliku.

Izlazna slika  $Y$  se dobija primenom inverzne funkcije  $\mu^{-1}$ :

$$y_{ij} = \mu^{-1}(\bar{\mu}_{ij})$$
$$y_{ij} = x_{min} + \bar{\mu} * (x_{max} - x_{min})$$

Na Slici 19, Slici 21 i Slici ?? su prikazani rezultati rada algoritma.

Figure 18: input



Figure 19: output

Figure 20: input



Figure 21: output

Figure 22: input



Figure 23: output

## 5 Zaključak

Teorija fazi skupova i fazi logika imaju značajnu primenu u procesiranju slika. Neke od tih primena smo videli i u ovom radu - binarizacija slike i detektovanje ivica. Postoje još mnogi algoritmi kao što su algoritmi za isticanje kontrasta,  $\lambda$  osvetljenja,  $\lambda$  negativa itd. Glavna prednost ovakvog pristupa procesiranju slika jeste jednostavnost njihove implementacije. Pored prednosti ovi pristupi imaju i mane. Nekad to može biti brzina izvršavanja, ili pak memorija. Takođe, i sami rezultati se mogu dosta razlikovati od rezultata algoritama koji

nisu bazirani na fazi logici, kao što je to bio slučaj u detekciji ivica.

## References

- [1] Nebojša Perić, "Neke primene teorije fazi skupova i fazi logike u procesiranju slika", Matematički fakultet u Beogradu, 2014.
- [2] Mario I. Chacon M, "Fuzzy binarization and segmentation of text images for opcr", Mexico New Mexico State University
- [3] Ajay Kumar Gupta, Siddharth Singh Chouhan, Manish Shrivastava, "Fuzzy based Low Contrast Image Enhancement Technique by using Pal and King Method", International Journal of Computer Applications, May 2016.
- [4] Pooja Mishra, Khom Lal Sinha, "A Highly Efficient Color Image Contrast Enhancement using Fuzzy Based Contrast", Advanced Research in Electrical and Electronic Engineering, 2014 Intensification Operator